

полная выделенная энергия (модель мгновенного точечного источника [3]). В рамках теплодиффузионного механизма критическая энергия искры определяется не только теплофизическими и химическими свойствами смеси, степенью ее нестехиометрии, но и соотношением скоростей диффузии компонентов. Развиваемая модель объясняет существование концентрационных пределов воспламенения искрой и их зависимость от диффузионных свойств компонентов.

ЛИТЕРАТУРА

1. Карпов В. П., Маслов В. В., Северин Е. С. Исследование критических условий воспламенения околопределенных метановоздушных смесей комбинированным искровым разрядом с варьируемыми характеристиками // ФГВ.—1986.—22, № 2.—С. 3.
2. Петренко Б. А. Воспламеняемость газов и физические основы электровзрывобезопасности.—М.: Наука, 1989.
3. Вилюнов В. Н. К теории искрового воспламенения // Докл. АН СССР.—1973.—208, № 1.—С. 66.
4. Champion M., Deshaies B., Joulin G. et al. Spherical flame initiation: theory versus experiments for lean propane-air // Combust. Flame.—1986.—65.—P. 319.
5. Tromans P. S., Furzeland B. M. A numerical analysis of the ignition of premixed gases by heat addition // Proc. 10th Int. Colloq. on Dynamics of Explosions and Reactive Systems.—Berkeley, 1985.
6. Льюис Б., Эльбе Г. Горение, пламя и взрывы в газах.—М.: Мир, 1968.
7. Бушман А. В., Лешкевич С. Л., Месяц Г. А. и др. Расчет электровзрыва катодного микрострия // Исследование свойств вещества в экстремальных условиях/Под ред. В. Е. Фортова.—М.: Наука, 1990.
8. Щетников Е. С. Физика горения газов.—М.: Наука, 1965.

г. Томск

Поступила в редакцию 25/VII 1991

УДК 536.46

A. Э. Закиров, Е. А. Некрасов

О ВЛИЯНИИ МАССОВЫХ ПОТОКОВ ВЕЩЕСТВА НА ВОСПЛАМЕНЕНИЕ КОНДЕНСИРОВАННЫХ СИСТЕМ С ТВЕРДОФАЗНЫМИ ПРОДУКТАМИ РЕАКЦИИ

Рассмотрена задача о воспламенении подогреваемой металлической нити, покрытой слоем реагента с низкой теплопроводностью. Решение проведено численным и приближенным аналитическим методами. Проанализированы зависимости критических условий воспламенения от стефаповского потока реагента и параметров теплоотдачи. Описано вырождение взрывного характера воспламенения, связанное с изменением эффективного коэффициента теплоотдачи в ходе реакции. Обсуждаются различные критерии определения критических условий.

Диффузионный рост слоя продукта в конденсированных системах сопровождается массовыми потоками реагирующих веществ и изменением объема фаз системы. Совместное влияние этих эффектов на кинетику реакционной диффузии в двойных системах рассматривалось в работе [1]. При воспламенении объемные изменения могут дополнительно влиять и на тепловой баланс системы. Подобные задачи возникают, например, при исследовании взаимодействия нитей металлов с конденсированными реагентами электротермографическим методом [2]. В случае низкой теплопроводности покрытия нити процесс нагрева уже нельзя считать термически безградиентным [2], и, следовательно, изменяющаяся в ходе реакции толщина теплоизолирующего слоя будет существенно регулировать теплообмен системы с окружающей средой. Изучению этого влияния на примере простейшей задачи о росте однофазного слоя продукта в бинарной системе и посвящена настоящая работа.

Постановка задачи. Температурный профиль системы будем полагать стационарным, а в реакционной зоне — и безградиентным (рис. 1). Влияние градиента температуры, возникающего в результате теплоотдачи с поверхности, на процесс диффузии для тонких металлических нитей

Рис. 1. Схематическое распределение температуры и концентрации в фазах системы.
1 — исходный металл; 2 — слой продукта; 3 — теплоизолирующий слой неметалла.

носит поправочный характер, так как

$$\frac{Bi}{\beta} = \frac{r_3 \alpha_k E_2}{2 \lambda_2 R T} \ll 1.$$

Здесь Bi — критерий Био; β — безразмерный параметр, характеризующий активацию диффузии; λ — коэффициент теплопроводности. В этом случае уравнения теплового баланса нити, покрытой слоем неметалла, имеют вид

$$\begin{aligned} c \frac{dT}{dt} &= \Phi + P_o - B_n r_3^n P_{-}, \\ P_{-} &= \alpha_k (T_{\text{п}} - T_c) + \varepsilon \sigma (T_{\text{п}}^4 - T_c^4), \\ T_{\text{п}} &= T - \frac{P_{-}}{\lambda_3} r_3^n R_3, \quad R_i = \int_{r_{i-1}}^{r_i} \frac{dr}{r^n}, \end{aligned} \quad (1)$$

где T , $T_{\text{п}}$ и T_c — температуры реакционной зоны, поверхности системы и окружающей среды; c — теплопроводность системы; P_o — мощность электрического подогрева; P_{-} — теплоотдача с единицы поверхности; α_k — коэффициент конвективной теплоотдачи; ε — степень черноты; λ_i — теплопроводность i -го слоя; n — показатель симметрии системы; $B_n = 1, 2$ и 4π для $n = 0, 1, 2$ соответственно; $\Phi = Q_2 dJ_2/dt$ — мощность химического тепловыделения; r_i — координаты поверхностей раздела металл — продукт ($i = 1$), продукт — неметалл ($i = 2$) и неметалл — окружающая среда ($i = 3$); E_2 — энергия активации диффузии в продукте; R — универсальная газовая постоянная. Содержание вещества во второй фазе J_2 и скорости движения межфазных границ r_i необходимо найти из диффузационной задачи.

Воспроизведем квазистационарное решение задачи о диффузионном росте слоев фаз в бинарной системе [1], обобщив его на случай, когда плотности ρ и коэффициенты диффузии D — произвольные функции концентрации a . Пусть в соответствии с диаграммой состояния А — В исходные реагенты образуют несколько однофазных продуктов $A_x B_y$ с областями гомогенности $a_i^- \leq a \leq a_i^+$. Тогда диффузионная задача в i -й фазе с учетом стефановских и конвективных потоков вещества имеет вид

$$\frac{\partial \rho}{\partial t} = - \frac{1}{r^n} \frac{\partial}{\partial r} (r^n \rho U), \quad (2)$$

$$\frac{\partial \rho a}{\partial t} = - \frac{1}{r^n} \frac{\partial}{\partial r} (r^n (Z + \rho U a)) \quad (3)$$

с граничными условиями:

$$\begin{aligned} a(r_{i-1}, t) &= a_i^-, \quad a(r_i, t) = a_i^+, \\ \rho_{i-1}^+ (U_{i-1}^+ - V_{i-1}) &= \rho_i^- (U_i^- - V_{i-1}), \\ \rho_{i-1}^+ a_{i-1}^+ (U_{i-1}^+ - V_{i-1}) + Z_{i-1}^+ &= \rho_i^- a_i^- (U_i^- - V_i) + Z_i^- = W_{i-1}. \end{aligned}$$

Здесь U — скорость конвективного потока вещества; $V_i = \frac{dr_i}{dt}$ — скорость движения границы; Z — массовый поток вещества В относительно вещества фазы. В случае диффузионного механизма переноса

$$Z = -\rho(a) D(a) \frac{\partial a}{\partial r}.$$

Индексами $-$ и $+$ обозначены значения переменных на левой и правой границах i -й фазы соответственно. Скорость изменения количества вещества В в i -й фазе определяется уравнением

$$\frac{dJ_i}{dt} = B_n (r_{i-1}^n W_{i-1} - r_i^n W_i).$$

Полагая условия справедливости квазистационарного приближения [1] выполнеными, проинтегрируем уравнения (2), (3):

$$r^n \rho U = -\omega_i, \quad r^n Z = \omega_i a + d_i.$$

Получаем константы интегрирования ω_i и d_i , которые находятся из трансцендентной системы уравнений

$$\begin{aligned} \int_{a_i^-}^{a_i^+} \frac{\rho(a) D(a) da}{\omega_i a + d_i} &= -R_i, \\ \frac{\omega_i (a_i^- \rho_i^- - a_{i-1}^+ \rho_{i-1}^+) + d_i (\rho_i^- - \rho_{i-1}^+)}{r_{i-1}^n (a_i^- - a_{i-1}^+)} &= \frac{Z_{i-1}^+ (\rho_i^- - \rho_{i-1}^+)}{(a_i^- - a_{i-1}^+) \rho_i^- \rho_{i-1}^+} - U_{i-1}^+. \end{aligned} \quad (4)$$

В рассматриваемом случае диффузия в 1-й и 3-й фазах отсутствует и правая часть (4) равна нулю. Тогда константы ω_2 и d_2 находятся явно:

$$\begin{aligned} \omega_2 &= (\rho_2^- - \rho_1^+) D_2^* \exp\left(-\frac{E_2}{RT}\right)/R_2, \\ d_2 &= (\rho_2^- a_1 - \rho_1^+ a_0) D_2^* \exp\left(-\frac{E_2}{RT}\right)/R_2, \\ D_2^* &= \int_{c_1}^{a_2} \frac{\rho_2(a) D_{\alpha_2}(a) da}{a(\rho_2^- - \rho_1^+) - a_1 \rho_2^- + a_0 \rho_1^+}. \end{aligned}$$

Теперь можно выписать все интересующие нас переменные:

$$\begin{aligned} V_i &= \frac{dr_i}{dt} = -\frac{v_i D_2^*}{r_i^n R_2} \exp\left(-\frac{E_2}{RT}\right), \quad \frac{dJ_2}{dt} = k \frac{\rho_1^+ D_2^*}{R_2} \exp\left(-\frac{E_2}{RT}\right); \quad (5) \\ v_1 &= 1; \quad v_2 = \frac{\rho_2^- (a_3 - a_1) - \rho_1^+ (a_3 - a_0)}{\rho_2^+ (a_3 - a_2)}; \\ v_3 &= \frac{(\rho_2^- a_1 - \rho_1^+ a_0)(\rho_2^+ - \rho_3^-) - (a_2 \rho_3^- - a_2 \rho_2^+)(\rho_1^+ - \rho_2^-)}{\rho_2^+ \rho_3^+ (a_3 - a_2)}; \\ k &= \frac{a_2 (a_3 - a_0) - a_3 (a_2 - a_1) \rho_2^- / \rho_1^+}{a_3 - a_2} \end{aligned}$$

безразмерные константы, характеризующие скорости движения границ раздела фаз и скорость изменения содержания вещества В во 2-й фазе; ρ_1 , ρ_2 , ρ_3 — плотности исходного металла А, продукта АВ и неметаллического покрытия В соответственно. Подробный анализ скоростей движения границ проведен в работе [1]. Отметим только, что при $v_2 = 0$ внешняя граница всегда движется к центру системы ($v_3 > 0$).

Из анализа полученных уравнений можно сделать нетривиальный вывод о том, что в случае, когда правая часть выражения (4) равна нулю, учет зависимостей $\rho(a)$ и $D(a)$ в квазистационарном приближении сводится к выбору эффективного значения

$$(\rho_i D_i)_{\text{эфф}} = D_i^* \int_{a_i^-}^{a_i^+} \frac{da}{a(\rho_i^- - \rho_i^+) - a_i^- \rho_i^- + a_{i-1}^+ \rho_{i-1}^+}.$$

В противоположном случае оно будет меняться с глубиной превращения в пределах области гомогенности.

Переходя в (1) — (5) к безразмерным переменным

$$z = r/r_{30}, \quad \tau = t \frac{E_2 k Q_2 \rho_1^+ r_{30}^{n-1} D_2^* \exp(-E_2/RT_0)}{c R T_0^2},$$

$$P_- = \frac{P_-}{\alpha_K T_0}, \quad \Theta = \frac{(T - T_0) F_2}{R T_0^2},$$

$$\varphi = \Phi [k Q_2 \rho_1^+ r_{30}^{n-1} D_2^* \exp(-E_2/RT_0)]^{-1},$$

перепишем их в следующем виде:

$$\frac{d\Theta}{d\tau} = \varphi + A_2 (A_4 - z_3^n P_-), \quad \Theta|_{\tau=0} = \Theta_h, \quad (6)$$

$$\varphi = \frac{\exp(\Theta/(1 + \beta\Theta))}{R_2}, \quad (7)$$

$$P_- = \beta\Theta_h + 1 + A_3 (\beta\Theta_h + 1)^4 - A_5, \quad (8)$$

$$\Theta_h = \Theta - A_6 P_- z_3^n R, \quad (9)$$

$$\frac{dz_i}{d\tau} = -A_i v_i \frac{\varphi}{z_i^n}, \quad z_i|_{\tau=0} = z_{i0}. \quad (10)$$

Безразмерные параметры A_i характеризуют:

$$A_1 = \frac{c R T_c}{k Q \rho_1^+ r_{30}^{n+1} E_2} -$$

температуру адиабатического разогрева $\Theta_a = z_{10}^{n+1} v_1 / (n + 1) A_1$;

$$A_2 = \frac{B_n r_{30} \alpha_K T_0}{k Q \rho_1^+ D_2^* \exp(-E_2/RT_0)} -$$

конвективную теплоотдачу;

$$A_3 = \varepsilon \sigma T_0^3 / \alpha_K -$$

долю излучения в теплоотдаче;

$$A_4 = P_a / (B_n r_{30}^n \alpha_K T_0) -$$

мощность электроподогрева;

$$A_5 = (\alpha_K T_c + \varepsilon \sigma T_c^4) / (\alpha_K T_0) -$$

температуру окружающей среды;

$$A_6 = \alpha_K r_{30} E_2 / (\lambda_3 R T_0) -$$

теплоизолирующие свойства покрытия. Вместо A_2 можно пользоваться более привычным параметром $\Omega = z_{10}^2 / (z_{30}^2 A_1 A_2 \beta)$. Температура инертного разогрева T_0 находится из второго уравнения системы (1), если положить $P_- = P_a / (B_n r_{30}^n)$.

Задача состояла в исследовании зависимости критических условий воспламенения $\Omega_*(A_2, A_6, v_3)$. Заметим, что в случае $A_3 = 0, A_6 = 0, v_3 = 0$ система (6) — (10) близка к постановке [3], и, следовательно, $\Omega_0 = \Omega_*(0, 0, 0) \approx 2,33$. Существенные отличия возникают, когда $v_3 \neq 0$, так как теплоотдача становится функцией не только температуры, но и глубины превращения. В дальнейшем мы часто будем обращаться к обобщенной форме записи уравнения (6)

$$\frac{d\Theta}{d\tau} = \varphi - A_2 F(\Theta, \eta). \quad (11)$$

Задача (6) — (10) решалась численно при следующих значениях параметров: $n = 1, \beta = RT_0/E_2 = 0,01 \div 0,05, \Theta_a = 10 \div 40, A_3 = 0 \div 5, A_5 =$

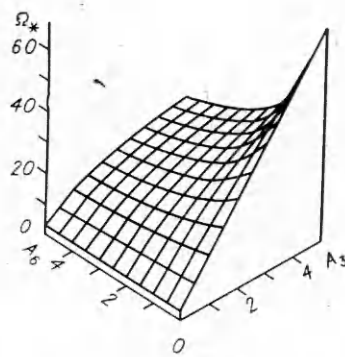


Рис. 2. Зависимость Ω_* от A_3 и A_6 при неподвижной внешней границе; $\beta = 0,03$, $\Theta_a = 20$, $v_3 = 0$.

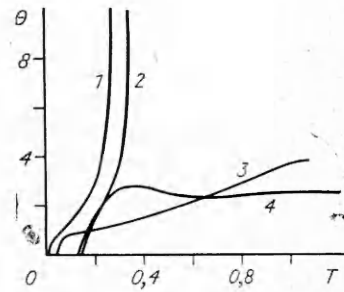


Рис. 3. Термограммы нагрева системы; $\beta = 0,03$, $\Theta_a = 20$, $A_3 = A_6 = 0$.

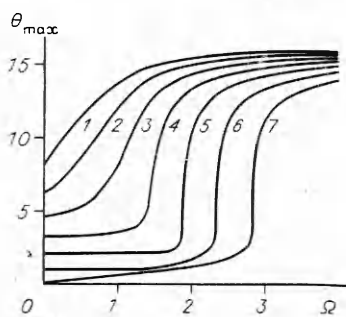


Рис. 4. Зависимость максимальной температуры от Ω ; $\beta = 0,03$, $\Theta_a = 20$, $A_3 = A_6 = 0$.

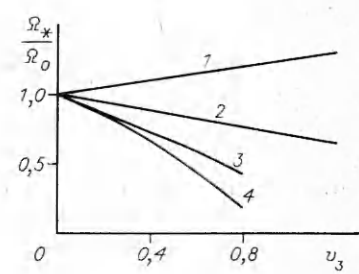


Рис. 5. Зависимость Ω_*/Ω_0 (v_3); $\beta = 0,03$, $\Theta_a = 20$.

$= 0,158$, $A_6 = 0 \div 5$, $v_2 = 0$, $v_3 = 0 \div 1,2$, $z_{10} = 0,6$, $\Theta_n = -15$. Области их изменения, по имеющимся литературным данным, соответствуют системам типа переходный металл — углерод.

Выбор температуры инертного разогрева в качестве масштабной накладывает дополнительную связь $F(0, 0) = 0$ на параметры задачи, откуда следует, что

$$A_4 = z_{30}^n p_{-} |_{\theta=0, \eta=0}.$$

Результаты расчетов. На рис. 2 показано поведение предела воспламенения $\Omega_*(A_3, A_6)$ при неподвижной внешней границе ($v_3 = 0$). Как и следовало ожидать, с увеличением A_3 растет Ω_* , а при повышении A_6 (т. е. с уменьшением Θ_n) понижается. При больших значениях A_3 усиливается зависимость теплоотдачи от поверхностной температуры Θ_n и, следовательно, зависимость $\Omega_*(A_6)$. При всех A_3 и A_6 расчетные термограммы дают характерную картину теплового взрыва: малому изменению Ω соответствует значительное увеличение максимальной температуры процесса Θ_{\max} (рис. 3, 2, 4). Чтобы инертно разогреть систему до одной и той же температуры $\Theta = 0$, при большей теплоотдаче (меньшем Ω) требуется большая мощность подогрева (A_4), поэтому вплоть до точки срыва теплового равновесия кривая 4 проходит выше кривой 2.

Изменение критических условий при $v_3 > 0$ удобно наблюдать по диаграмме зависимости $\Theta_{\max}(\Omega)$ (рис. 4). Точка перегиба диаграммы примерно соответствует Ω_* . В докритических режимах температура, пройдя через локальный максимум, асимптотически стремится к равновесному значению $\Theta_p(\eta) > 0$ (см. рис. 3, 3, 4), которое можно найти из условия $F(\Theta_p, \eta) = 0$ в уравнении (11). Поэтому при $v_3 > 0$ кривые 1—6 (см. рис. 4) выходят не из начала координат, а из точки $\Theta_{\max}(\Omega = 0) = \Theta_p(\eta = 1)$. С ростом Ω возможна ситуация, когда промежуточный мак-

симум температуры становится больше $\Theta_p(\eta = 1)$ (см. рис. 3, 4). Данному случаю соответствует появление точки излома на диаграмме $\Theta_{\max}(\Omega)$ (см. рис. 4, 5, 6). При $v_3 > 0,5$ промежуточный максимум сглаживается быстрым ростом $\Theta_p(\eta)$ (см. рис. 3, 1, 3) и излом на диаграммах отсутствует (см. рис. 4, 1—4).

В случае больших v_3 (см. рис. 4, 1—3) взрывной характер воспламенения вырождается — при сколь угодно малых Ω за счет повышения Θ_p система разогревается до температур, сравниваемых с температурой предвзрывного разогрева. Термограмма процесса в вырожденных условиях имеет вид, характерный для взрывного процесса (см. рис. 3, 1, 2), хотя достижение высоких температур в этом случае связано с уменьшением эффективного коэффициента теплоотдачи в ходе реакции и не сопровождается срывом теплового равновесия в результате химического тепловыделения. В качестве критерия такого вырождения теплового взрыва можно принять условие $\Theta_p(\eta = 1) \gg 1$.

Снижение предела воспламенения с ростом v_3 (см. рис. 4, 5—7) объясняется уменьшением поверхности теплоотдачи системы пропорционально z_3 . Понижение теплопроводности внешнего слоя ($A_6 > 0$) приводит к ослаблению зависимости $\Omega_*(v_3)$ (рис. 5, 3), так как с уменьшением его толщины в ходе реакции растет Θ_p и, как следствие, теплоотдача. Наличие этих двух противоположных эффектов и определяет характер зависимости $\Omega_*(v_3)$. Влияние температуры поверхности на теплоотдачу значительно возрастает с увеличением в ней доли излучения. При этом тенденция к увеличению теплоотвода с ростом параметра A_6 может стать преобладающей и кривая $\Omega_*(v_3)$ меняет знак наклона (см. рис. 5, 1, 2).

Приведенные результаты позволяют сделать вывод о том, что в ряде случаев учет изменения макрокинетических параметров теплоотдачи, вызванного движением межфазных границ, существенно необходим. Аналогичные эффекты следует ожидать и при $v_3 < 0$, что соответствует увеличению внешнего радиуса системы в ходе реакции.

Приближенное решение. Для аналитической оценки вида функции $\Omega_*(A_3, A_6, v_3)$ заменим F в уравнении (11) первым членом разложения

$$F(\Theta, \eta) = \frac{dF}{d\Theta} \Big|_{\Theta_*, \eta_*} \cdot \Theta,$$

так как $F(0, 0) = 0$. Если замена правомерна, то в критических условиях $A_2 \frac{d\Theta}{dt} \Big|_{\Theta_*, \eta_*} = \text{const}$ для любых A_3, A_6, v_2, v_3 . Очевидно, что значения Θ_* и η_* , при которых это соотношение выполняется, должны лежать вблизи точки срыва теплового равновесия: $\Theta_* \approx i$, $\eta_* \approx 0,1$. Значение константы найдем, положив $A_3 = A_6 = v_2 = v_3 = 0$, и после несложных преобразований имеем

$$\frac{\Omega_*}{\Omega_0} = \frac{1}{\beta} \frac{dF}{d\Theta} \Big|_{\Theta_*, \eta_*} = \frac{1}{\beta} \left(n z_3^{n-1} p - \frac{dz_3}{d\Theta} + z_3^n \frac{dP}{d\Theta} \right).$$

Подставляя в последнее соотношение значения производных с учетом (6) — (10) и опуская промежуточные выкладки, получим окончательный результат:

$$\frac{\Omega_*}{\Omega_0} = \frac{\frac{A_1 \Phi (F + A_4)}{\Phi - A_2 F} \left(\frac{v_3}{z_3^{n+1}} (n - A_6 l) + \frac{v_2}{z_2^{n+1}} A_6 l \right) + l}{\beta (1 + A_6 l R_3)}, \quad (12)$$

$$l = z_3^n \beta (1 + 4A_3 (1 + \beta \Theta)^3).$$

Для проверки (12) проведено широкое параметрическое исследование. Параметры Θ_* и η_* использовались в качестве подгоночных, их значения оптимизировались по среднеквадратичному и максимальному отклонениям. Расчеты показали, что если выбрать $\Theta_* = 1,3$, $\eta_* = 0,12$, то по-

грешность приведенной оценки в невырожденных случаях не превышает 5 %, что намного перекрывает погрешностями постановки. С приближением к области вырождения ошибка растет, оставаясь тем не менее в пределах 20 %. Это позволяет говорить о достаточно широких границах применимости сделанного приближения.

Параметр Ω_* входит в обе части уравнения (12), и в качестве начального приближения для итерационного процесса удобно пользоваться формулой

$$\frac{\Omega_*}{\Omega_0} = \frac{l/z_3\beta}{1 + A_6 R_3 l},$$

которая следует из (12) при $v_2 = v_3 = 0$.

В заключение отметим, что все расчеты проводились с использованием шести различных критериев выбора Ω_* . Первый критерий — «классический», когда критические режимы связываются с появлением точки перегиба на термограмме нагрева (см. рис. 3, 2). Второй, приведенный ранее, предполагает, что Ω_* соответствует перегибу диаграммы зависимости $\Theta_{\max}(\Omega)$ (см. рис. 4): $d^2\Theta_{\max}/d\Omega^2 = 0$. Согласно третьему, Ω_* определяется из условия $\Theta_{\max} = \alpha\Theta_a$, где α варьировалась от 0,1 до 0,5. И наконец, последние три критерия аналогичны первым с той разницей, что вместо температуры использовалась величина перегрева $\Theta - \Theta_p$ в надежде «отфильтровать» режимы вырождения, обусловленного уменьшением эффективной поверхности теплоотдачи в ходе реакции. Сравнительный анализ показал, что все эти критерии дают близкие значения Ω_* , одинаково хорошо соответствующие предсказаниям формулы (12) в невырожденных режимах. Однако в вырожденных и близких к вырожденным условиям они дают большое расхождение с указанной оценкой, что не позволяет отдать предпочтение ни одному из перечисленных критериев.

ЛИТЕРАТУРА

- Некрасов Е. А., Иванов И. А. О влиянии массовых потоков вещества и объемных изменений в процессах реакционной диффузии // Изв. АН СССР. Металлы.— 1988.— № 1.— С. 45—50.
- Вадченко С. Г., Григорьев Ю. М., Мержанов А. Г. Исследование механизма воспламенения и горения систем титан — углерод, цирконий — углерод электротермографическим способом // ФГВ.— 1976.— 12, № 5.— С. 676—682.
- Хайкин Б. И., Блоценко В. Н., Мержанов А. Г. О воспламенении частиц металлов // Там же.— 1970.— 5, № 4.— С. 474—488.

г. Томск

Поступила в редакцию 25/VII 1991

УДК 536.46

B. H. Лихачев, Г. С. Сухов, Л. П. Ярин

К ТЕОРИИ ГОРЕНИЯ ПУЗЫРЬКОВЫХ СРЕД

Рассмотрены закономерности распространения волн горения в пузырьковых средах с учетом теплового расширения пузырьков и связанного с этим движения жидкой и газообразной фаз. На основе принятой модели, согласно которой волна горения представляется в виде совокупности трех характерных зон, отвечающих соответственно процессам прогрева парогазовой смеси, протекания химической реакции и теплоотдачи от продуктов сгорания, получена система уравнений, связывающая конечные и начальные параметры процесса. Проведен сравнительный анализ основных характеристик процесса распространения горения для моделей с расширяющимися и вмороженными пузырьками.

Закономерности горения пузырьковых сред представляют значительный интерес в связи с изучением волновых процессов в гетерогенных реагирующих системах. Они существенны также для ряда приложений в различных отраслях современной техники и технологии, например в вос-